

# Sayısal Filtreler ve Sistemler

## EHB 433

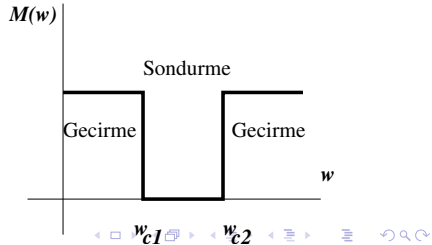
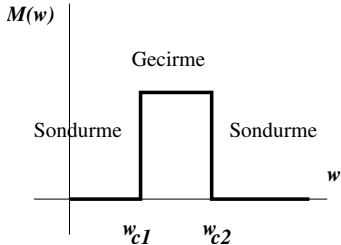
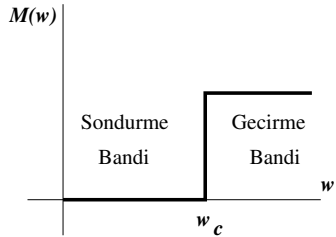
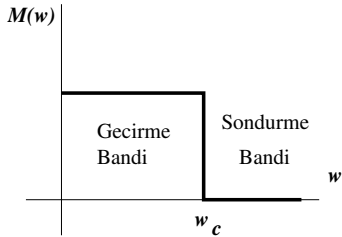
Prof. Dr. Müştak E. Yalçın

Istanbul Technical University  
Faculty of Electrical and Electronic Engineering

[mustak.yalcin@itu.edu.tr](mailto:mustak.yalcin@itu.edu.tr)

# Outline I

# İdeal Filtre Karakteristikleri



When referring to measurements of power quantities, a ratio can be expressed as a level in decibels by evaluating ten times the base-10 logarithm of the ratio of the measured quantity to reference value.

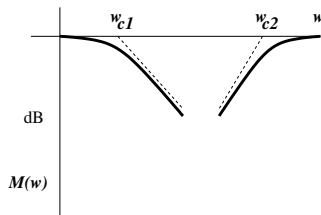
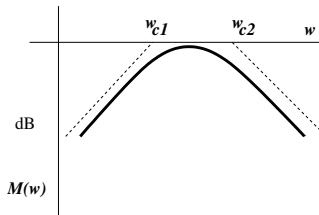
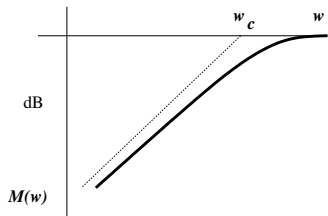
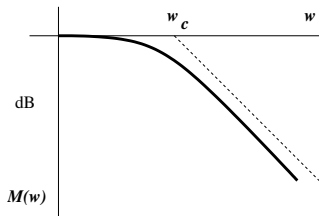
$$L_p = 10 \log\left(\frac{P}{P_0}\right)$$

When referring to measurements of voltage or current ;

$$L_v = 20 \log\left(\frac{V}{V_0}\right)$$

(power is typically proportional to the square of voltage or current) Ref: Wikipedia.

# Filtreler



# İdeal alçak geçiren filtre

## İdeal alçak geçiren filtre

$$H(j\omega) = \begin{cases} Ke^{-j\omega T} & \text{eger } |\omega| \leq \omega_c \\ 0 & \text{diğerleri} \end{cases}$$

dir ve  $-T$  faz çevabının eğimi,  $K$  kazanç sabitidir.

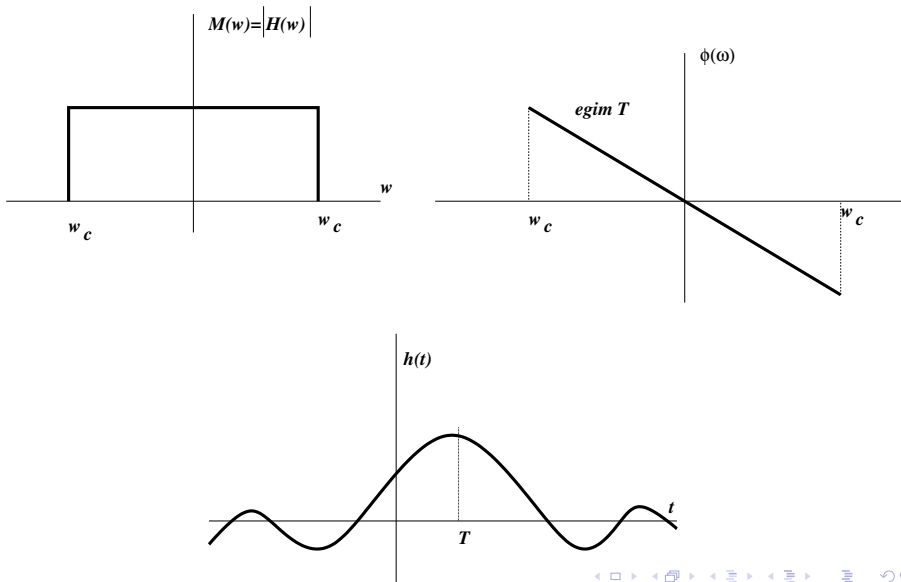
$H(j\omega)$  nin ters Fourier dönüşümü alınacak olursa

$$h(t) = \frac{K\omega_c \sin \omega_c(t - T)}{\pi \omega_c(t - T)}$$

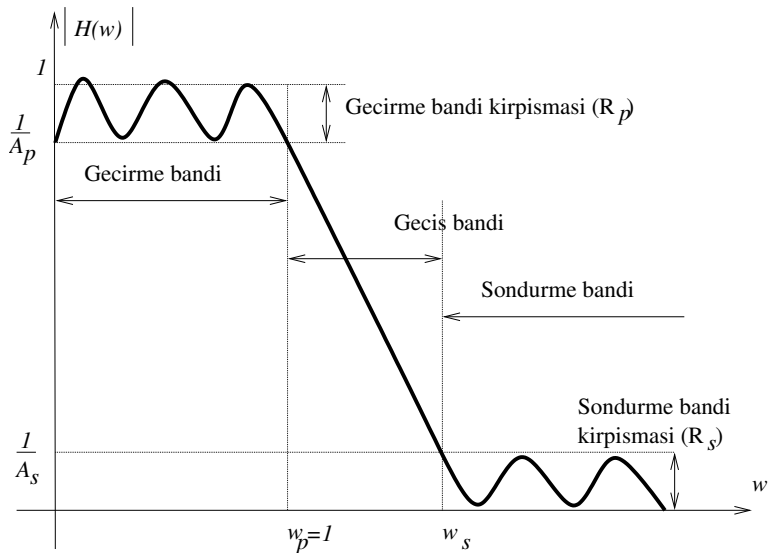
elde edilir.

Burda  $h(t)$  nin  $t < 0$  için sıfırdan farklı değerlere sahip olması ideal alçak geçiren filtrenin gerçekleştirilemez olduğunu gösterir. Çözüm  $|H(\omega)|$  karakteristiğini yaklaşık olarak gerçekleyen filtreyi tasarlamak.

# İdeal Filtre Karakteristikleri



# Gerçeklenebilir Filtre Karakteristikleri





Butterworth (1930) yaklaşımıyla  $n$ . dereceden alçak geçiren filtre

$$|H(j\omega)| = \frac{1}{(1+\omega^{2n})^{1/2}}$$

Filtre karakteristiğinden filtre parametrelerinin bulunması:

$$R_p = -20 \log A_p = -10 \log \frac{1}{1 + \omega_p^{2n}}$$

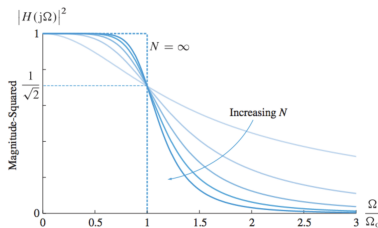
$$R_s = -20 \log A_s = -10 \log \frac{1}{1 + \omega_s^{2n}}$$

# Butterworth Filtreleri

Bir önceki iki eşitlik kullanılarak

$$n = \frac{\log \frac{\frac{1}{A_s^2} - 1}{\frac{1}{A_p^2} - 1}}{2 \log \frac{w_s}{w_p}} \approx \frac{R_s}{20 \log \frac{w_s}{w_p}}$$

$n$  tamsayı olması gerektiğinden kesirli çıkan  $n$  değeri yukarı yuvarlanır.

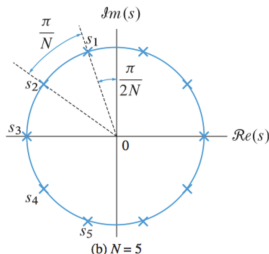
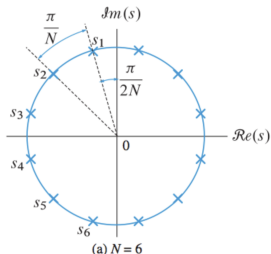


# Butterworth Filtreleri

$$|H(jw)|^2 = H(jw)H(-jw) = \frac{1}{(1 + w^{2n})}$$

$s = jw$  bu durumda  $s^2 = -w^2$  ve  $H(s)H(-s) = \frac{1}{1+(-1)^n s^{2n}}$   
yukardaki eşitlikten bu filtrenin  $2n$  tane kutbu olduğu görülür

$$s_k = \begin{cases} e^{j\pi(2k-1)/2n} & \text{çift } n\text{'ler} & k = 1, 2, \dots, 2n \\ e^{j\pi k/n} & \text{tek } n\text{'ler} & k = 0, 1, 2, \dots, 2n - 1 \end{cases}$$



Örnek : 3 dereceden Butterworth tipi filtrenin transfer fonksiyonunu bulun.

$$|H(j\omega)|^2 = \frac{1}{1 + \omega^6}$$

$H(s)H(-s) = \frac{1}{1-s^6}$  bu durumda  $s_k = e^{jk\pi/3}$  ve  $k = 0, 1, 2, 3, 4, 5$ . Transfer fonksiyonu;

$$H(s) = \frac{1}{(s + 1)(s + 1/2 - j\sqrt{3}/2)(s + 1/2 + j\sqrt{3}/2)}$$

Matlab fonksiyonları:

```
>> [N, wc] = buttord(wp, ws, Rp, Rs, 's')  
>> [B, A] = butter(N, wc, 's')
```

# Chebyshev filtreleri

Chebyshev polinomu:

$$C_n(w) = 2wC_{n-1}(w) - C_{n-2}(w)$$

ve  $C_0(w) = 1$   $C_1(w) = w$ .

$n$ . dereceden Chebyshev filtresi

$$|H(jw)|^2 = \frac{1}{1 + \epsilon^2 C_n^2(w)}$$

Filtre karakteristiğinden filtre parametrelerinin bulunması:

- $|H(j1)| = \frac{1}{(1 + \epsilon^2)^{1/2}}$  olmak üzere Maximum kırpışma  $R_p$  (dB) için  $20 \log(|H(j1)|) = R_p$  olarak  $\epsilon$  bulunur.
- Söndürme bandından  $|H(jw)| \approx \frac{1}{\epsilon C_n(w)}$  alınarak

$$20 \log A_s = 20 \log \epsilon + 20 \log C_n(w_s) \approx 20 \log \epsilon + 20 \log(2^{n-1} w_s^n)$$

elde edilir.

# Chebyshev filtreleri

Bu eşitlikden filtrenin derecesi durdurma bandında enaz istenen azalmayı sağlayacak şekilde seçilir.

Chebyshev filtresinin transfer fonksiyonu;

$$H(s) = \frac{C}{\prod_{k=1}^n (s - s_k)}$$

bu filtreye ait kutuplar;

$$s_k = \begin{cases} -\sinh \gamma \cos \frac{2k+1}{2n} \pi + j \cosh \gamma \sin \frac{2k+1}{2n} \pi & n \text{ çift, } k = \frac{-n}{2}, \dots, \frac{-n}{2} - 1 \\ -\sinh \gamma \cos \frac{k}{n} \pi + j \cosh \gamma \sin \frac{k}{n} \pi & n \text{ tek, } k = 0, \pm 1, \dots, \pm \frac{n-1}{2} \end{cases}$$

ve

$$\gamma = \frac{1}{n} \sinh^{-1} \frac{1}{\epsilon}$$

- 

$$|H(j0)| = \begin{cases} 1, & n \text{ tek} \\ 1/(1 + \epsilon^2), & n \text{ çift} \end{cases}$$

- $w \leq w_c$  için  $1 \leq |H(iw)|^2 \leq 1/(1 + \epsilon^2)$
- $|H(iw)|^2$ ,  $w \geq w_c$  için  $20n$  (dB) ile azalır.
- Chebyshev filtresin But. göre yaklaşık  $6(n - 1)$  daha hızlı zayıflamaya sahiptir.
- Butt.'da kutuplar daire üzerine Cheb.'de ise elipsin üzerine yerleşmektedir.

Matlab fonksiyonları:

```
>> [N, wc] = cheb1ord(wp, ws, Rp, Rs, 's')  
>> [B, A] = cheby1(N, Rp, wc, 's')
```

- Chebyshev filtresi (Chebyshev-I)  $s$  yerine  $1/s$  seçilerek yüksek geçiren filtreye dönüştürülür.
- Elde edilen yüksek geçiren birden çıkarılarak Ters veya Chebyshev-II filtresi elde edilir.

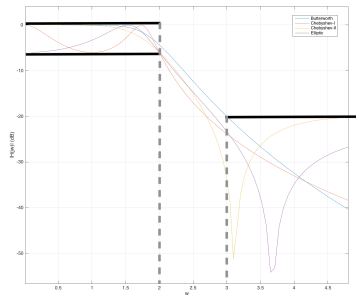
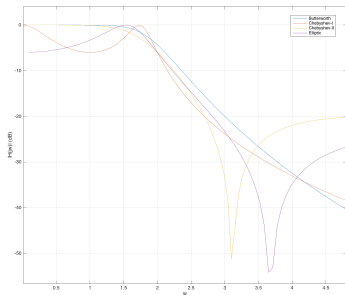
Chebyshev-II filtresi söndürme bandında kırışma, geçirme bandında monoton olarak zayıflama göstermektedir.

Matlab fonksiyonları:

```
>> [N, wc] = cheb2ord(wp, ws, Rp, Rs, 's')  
>> [B, A] = cheby2(N, Rs, wc, 's')
```



# Karşılaştırma



▶ file: filtre\_analog.m

# Frekans Uyarlaması

Buraya kadar teorik çalışmalarda kesim frekansı 1 rad/sn olarak alınmıştı.  
İstenen frekans için:

- $w_u$  frekanslı alçak geçiren

$$s_n = s/w_u$$

- $w_l$  frekanslı yüksek geçiren

$$s_n = w_l/s$$

- Bant geçiren ( $w_l, w_u$ )

$$s_n = \frac{s^2 + w_0^2}{B_s} = \frac{w_0}{B} \left( \frac{s}{w_0} + \frac{w_0}{s} \right)$$

ve  $w_0 = \sqrt{w_u w_l}$   $B = w_u - w_l$ .

- Bant söndüren ( $w_l, w_u$ )

$$s_n = \frac{B_s}{s^2 + w_0^2} = \frac{B}{w_0 \left( \frac{s}{w_0} + \frac{w_0}{s} \right)}$$

ve  $w_0 = \sqrt{w_u w_l}$   $B = w_u - w_l$ .

Örnek : 3 dereceden Butterworth tipi filtreyi kesim frekansı 100Hz olacak şekilde MATLAB'de tasarlayın.

```
>> [b,a]=butter(3,2*pi*100,'s');
```

```
>> tf(b,a)
```

Transfer function:

```
2.481e008
```

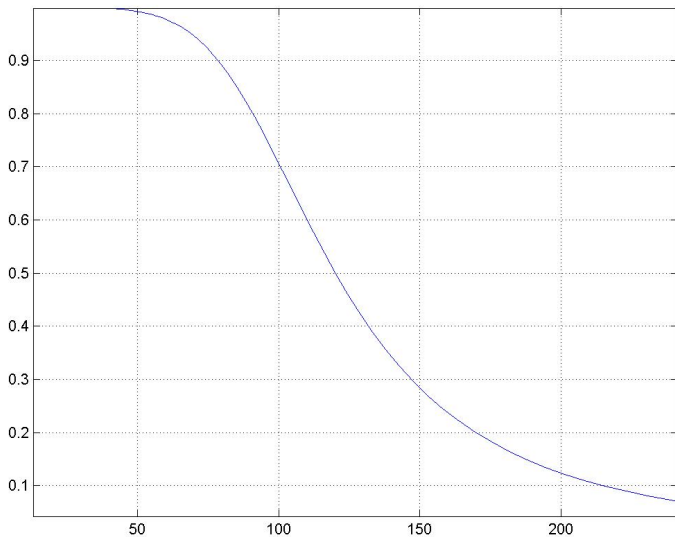
-----  
 $s^3 + 1257 s^2 + 7.896e005 s + 2.481e008$

```
>> [H,w]=freqs(b,a);
```

```
>> plot(w/(2*pi),abs(H))
```

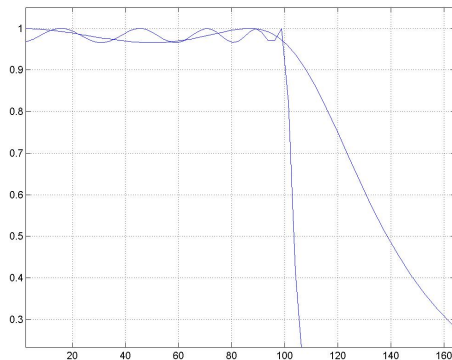
```
>> roots(a)
```

```
ans = 1.0e+002 * [ -6.2832, -3.1416 + 5.4414i, -3.1416 -  
5.4414i]
```



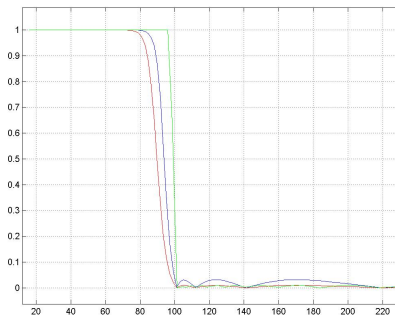
Örnek: MATLAB de aynı derecedeki Chebyshev filtresinin davranışının karşılaştırın.

```
>> [b,a]=cheby1(3,.3,2*pi*100,'s');  
>> [b,a]=cheby1(10,.3,2*pi*100,'s');
```



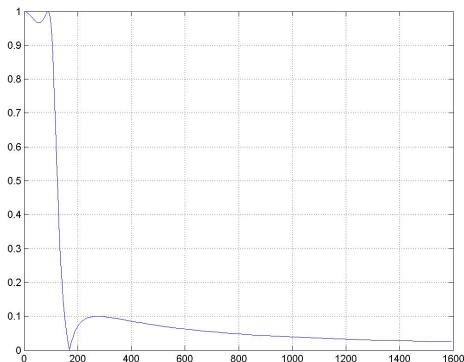
Chebyshev II tipi filtrelerde I tipinde görülen ripple söndürme bandında ortaya çıkar. Aşağıdaki örnekte MATLAB üstünde Chebyshev II için farklı derece ve kırışma değerleri için filtrenin genlik cevabı

```
>> [b,a]=cheby2(10,30,2*pi*100,'s'); (mavi)  
>> [b,a]=cheby2(10,40,2*pi*100,'s'); (kırmızı)  
>> [b,a]=cheby2(30,40,2*pi*100,'s'); (yeşil)
```



# Elliptic Filtreler

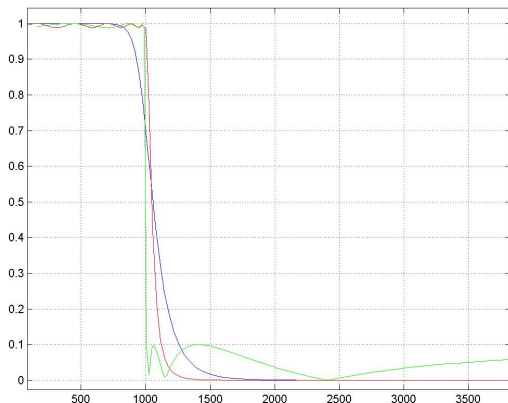
```
>> [b,a]=ellip(3,.3,20,2*pi*100,'s');  
>> [H,w]=freqs(b,a);  
>> plot(w/(2*pi),abs(H))
```



Elliptic filtreler Chebyshev filtresine göre daha keskin olmasına karşın södürme ve geçirme bantlarının her ikisinde de kırışmaya neden olmaktadır.

# Butterworth, Chebyshev ve Elliptic

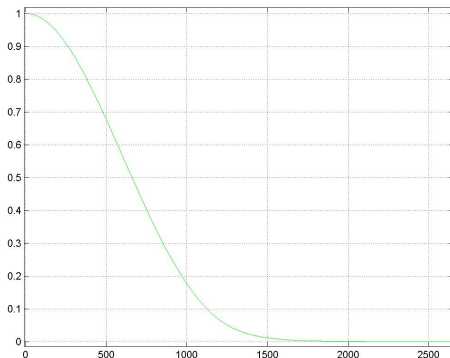
```
>> [b,a]=butter(10,2*pi*100,'s'); (mavi)  
>> [b,a]=cheby1(10,.1,2*pi*1000,'s'); (kırmızı)  
>> [b,a]=ellip(10,.1,20,2*pi*1000,'s'); (yeşil)
```





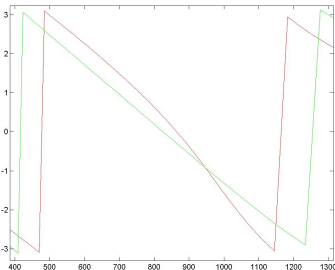
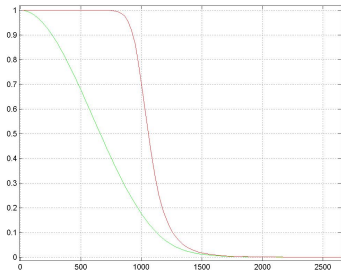
# Bessel filtre

```
>> [b,a]=besself(10,2*pi*1000);  
>> [H,w]=freqs(b,a);  
>> plot(w/(2*pi),abs(H),'g')
```



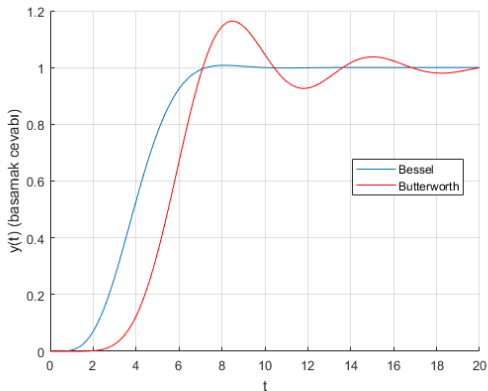
$2 * \pi * 1000$  is the frequency up to which the group delay is approximately constant.

# Bessel ve Butterworth



Bessel filtreler özellikle lineer faz istendiğinde kullanılmaktadır.

# Bessel ve Butterworth



Bessel tipi filtre filtrenin frekans cevabındanasa basamak cevabının önemli olduğu uygulamalar için anlamlıdır. Yukarıda gördüğümüz durum bunu açıklamaktadır.